

Institut für Pharmazeutische Chemie, Heinrich-Heine-Universität Düsseldorf, Germany

Synthese von 4,5-Dihydro-1,2,4-oxadiazolen aus N-unsubstituierten Amidoximen

J. LESSEL und G. HERFS

Herrn Professor Dr. Bernhard C. Lippold, Düsseldorf, mit den besten Wünschen zum 60. Geburtstag gewidmet.

Aromatische und araliphatische Amidoxime lassen sich sowohl mit Aldehyden als auch mit Ketonen durch cyclisierende Kondensation in 4,5-Dihydro-1,2,4-oxadiazole überführen. Aus der Vielzahl erhaltener Heterocyclen mit unterschiedlichem Substitutionsmuster an C-3 und C-5 ergibt sich eine große Anwendungsbreite des einfachen Syntheseprinzips.

Synthesis of 4,5-dihydro 1,2,4-oxadiazoles from N-unsubstituted amidoximes

4,5-Dihydro 1,2,4-oxadiazoles can be synthesized from aromatic and araliphatic amidoximes by cyclocondensation with aldehydes and ketones. Resulting heterocycles differ in substitution at C-3 and C-5 showing the scope of the simple reaction.

1. Einleitung

Amidoxime fungieren u. a. als NO-Donatoren [1], auch weisen einige als Hemmstoffe der Plättchenaggregation [2] biologische Aktivität auf. Einige Adamantanamin-Abkömmlinge, deren Aminogruppe in ein 4,5-Dihydro-1,2,4-oxadiazol eingebunden ist, wirken tumorhemmend oder antiviral [3,4]. Da Δ^2 -1,2,4-Oxadiazoline grundsätzlich aus Amidoximen zugänglich sind, wären zunächst systematische Untersuchungen zur Umwandlung von Amidoximen in diese Heterocyclen und zu deren Stabilität wünschenswert.

2. Untersuchungen, Ergebnisse und Diskussion

2.1. Darstellung und Charakterisierung der Amidoxime

Die Amidoxime **1** wurden aus den entsprechenden Nitriilen und Hydroxylamin in Anlehnung an Tiemann [5] synthetisiert. Mit Hilfe der Protonenresonanzspektroskopie wurde den Verbindungen **1** die Z-Konfiguration zugeordnet. Bekannt ist, dass N-unsubstituierte Amidoxime stets Z-konfiguriert sind [6]; lediglich bei N,N-disubstituierten Substanzen wurden geometrische Isomere nachgewiesen [7, 8]. Die aromatischen Vertreter **1a/b** zeichnen sich durch Signallagen für die Hydroxylprotonen in $[D_6]DMSO$ bei 9,6–10 ppm aus, die Aryl-methyl-amidoxime **1c–h** weisen chemische Verschiebungen von ca. 9 ppm auf; dies ist für Z-konfigurierte Amidoxime charakteristisch [6–9]. Außerdem wurden ausgewählte Amidoxime mit Phenylboronsäure in die Oxadiazaborole **3** überführt, was die Zuordnung zur Z-Reihe stützt.

2.2. Umsetzungen von Amidoximen mit Aldehyden und Ketonen

Zunächst mussten geeignete Reaktionsbedingungen für die Cyclokondensation der Amidoxime **1** mit Aldehyden und Ketonen gefunden werden. Als optimales Solvens erwies sich ein C_2H_5OH/H_2O -Gemisch für die Umsetzung mit aliphatischen Aldehyden und Eisessig für die Reaktion mit Ketonen und aromatischen Aldehyden [10]. Ein Ersatz der Carbonylverbindungen durch deren Ketale bzw. Acetale, wie von Tikhonow et al. [11] beschrieben, gelang hier nur

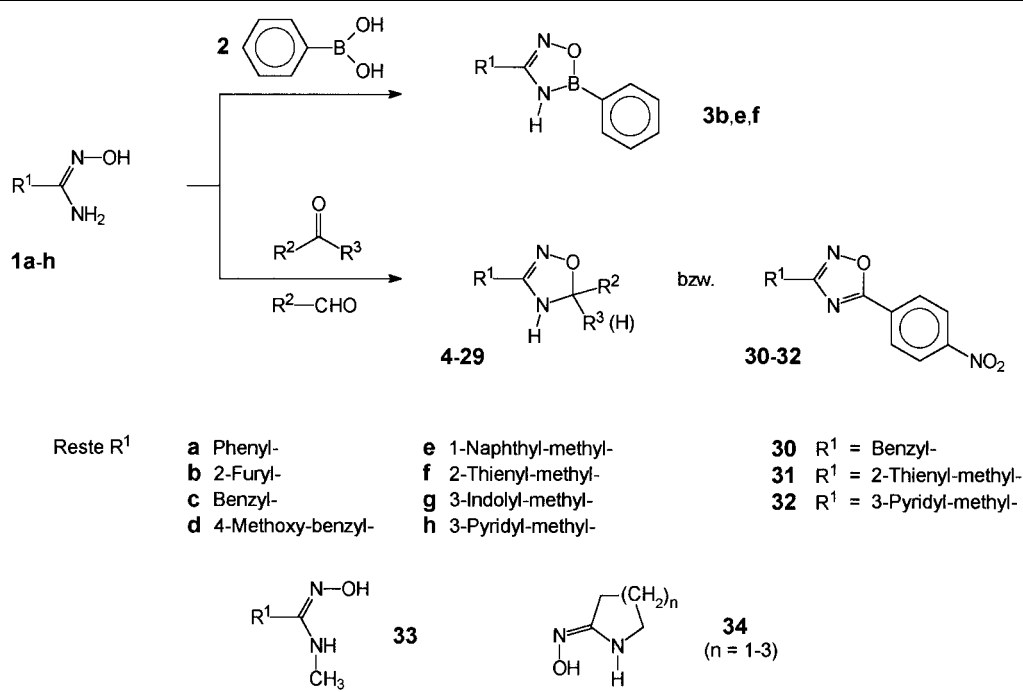
für die Umsetzung des Amidoxims **1c** mit Benzaldehyddiethylacetal zum Oxadiazol und scheint somit keine allgemeingültige Darstellungsmethode zu sein. Aus den Umsetzungen resultierten, z. T. nach sc Reinigung, die Dihydrooxadiazole **4–29** (vgl. Tab. 1) in mäßigen bis mittleren Ausbeuten.

Deren ringgeschlossene Struktur wird zweifelsfrei mit Hilfe der 1H -NMR-Spektroskopie belegt; so wird nur noch ein austauschbares Proton registriert, und sowohl die Signallage als auch das Kopplungsmuster des Methinprotons 5-H bzw. der Methylenprotonen 5-H₂ sind bei den Aldehyd-abkömmlingen **4–24** charakteristisch. So werden die entsprechenden Protonen an C-5 der Derivate **6–14** aliphatischer Aldehyde in $[D_6]DMSO$ bei ca. 5,2–5,6 ppm registriert, sie weisen zwei vicinale Kopplungen 3J (5-H/

Tabelle 1: Reste R¹–R³ der Oxadiazole 4–29

| Verb. | R ¹ | R ² | R ³ |
|-----------|--------------------|------------------------------------|-----------------|
| 4 | Phenyl- | H | H |
| 5 | 4-Methoxy-benzyl- | H | H |
| 6 | 2-Furyl- | CH ₃ | H |
| 7 | Benzyl- | CH ₃ | H |
| 8 | 4-Methoxy-benzyl- | CH ₃ | H |
| 9 | 2-Thienyl-methyl- | CH ₃ | H |
| 10 | 1-Naphthyl-methyl- | CH ₃ | H |
| 11 | Benzyl- | C ₂ H ₅ | H |
| 12 | 2-Thienyl-methyl- | C ₂ H ₅ | H |
| 13 | 1-Naphthyl-methyl- | C ₂ H ₅ | H |
| 14 | 3-Indolyl-methyl- | C ₂ H ₅ | H |
| 15 | Benzyl- | 4-Methoxy-phenyl | H |
| 16 | Benzyl- | 3,4-Methylendioxy-phenyl- | H |
| 17 | 1-Naphthyl-methyl- | 4-Hydroxy-3-methoxy-phenyl- | H |
| 18 | Benzyl- | 2,3-Dimethoxy-phenyl- | H |
| 19 | 2-Thienyl-methyl- | 2,3-Dimethoxy-phenyl- | H |
| 20 | 1-Naphthyl-methyl- | 2,4-Dimethoxy-phenyl- | H |
| 21 | Benzyl- | 3,4,5-Trimethoxy-phenyl- | H |
| 22 | 2-Thienyl-methyl- | 3,4,5-Trimethoxy-phenyl- | H |
| 23 | 1-Naphthyl-methyl- | 2,3,4-Trimethoxy-phenyl- | H |
| 24 | 1-Naphthyl-methyl- | 3-Nitro-phenyl- | H |
| 25 | Benzyl- | CH ₃ | CH ₃ |
| 26 | 2-Thienyl-methyl- | CH ₃ | CH ₃ |
| 27 | Benzyl- | -(CH ₂) ₅ - | |
| 28 | 2-Thienyl-methyl- | -(CH ₂) ₅ - | |
| 29 | Benzyl- | -(CH ₂) ₆ - | |

Schema



NH) und ³J (5-H/5-CH₂) auf. Das Methinproton 5-H erscheint bei den aus aromatischen Aldehyden synthetisierten Heterocyclen **15–24** bei ca. 6,2–6,5 ppm, es weist eine vicinale Kopplung mit dem austauschbaren NH-Proton auf.

Aus den Ansätzen der Amidoxime **1c, f** und **h** und p-Nitrobenzaldehyd hingegen wurden anstelle der Dihydroverbindungen die heteroaromatischen 1,2,4-Oxadiazole **30–32** isoliert. Für deren Entstehung ist davon auszugehen, daß zunächst auch hier die entsprechenden 4,5-Dihydrooxadiazole gebildet werden, die sodann durch den Nitrobenzaldehyd Dehydrierung zu den Produkten erfahren.

2.3. Theoretische Betrachtungen zur Reaktion

Um die Anwendungsbreite der Reaktion auszuloten, wurden semiempirische Berechnungen mit dem MNDO-Verfahren [13] durchgeführt. In Tabelle 2 sind die so ermittelten Durchschnittswerte der Reaktionsenthalpien für die Umsetzung aromatischer und araliphatischer Amidoxime mit Carbonylverbindungen zu Oxadiazolen aufgeführt. Der Vergleich der Werte zeigt folgende Tendenz: zunehmende Substitution an C-5 der Oxadiazole – d. h. Übergang von Formaldehyd über die Homologen zu Ketonen – sollte aus energetischen Gründen eine geringere Bildungsbereitschaft der heterocyclischen Produkte nach sich ziehen; verantwortlich hierfür dürften sterische Interaktionen sein.

Tabelle 2: Berechnete Reaktionsenthalpien $\Delta\Delta\text{HF}$ (MNDO) für die Umsetzung N-unsubstituierter Amidoxime 1 mit Carbonylverbindungen zu Oxadiazolen

| Carbonylverbindung | $\Delta\Delta\text{HF}$ (kJ/mol) |
|----------------------|----------------------------------|
| Formaldehyd | -63 |
| Acetaldehyd | -48 |
| Propionaldehyd | -41 |
| aromatische Aldehyde | -39 |
| Aceton | -27 |
| Cyclohexanon | -25 |

Allerdings ist zu berücksichtigen, daß Cyclisierungsprodukte aus allen eingesetzten Carbonylverbindungen erhalten wurden.

Vergleichende Untersuchungen mit N-substituierten Amidoximen **33** bzw. cyclischen Lactamoximen **34** ergaben nur in wenigen Fällen heterocyclische Kondensationsprodukte; zumeist handelt es sich bei diesen im Gegensatz zu den Feststoffen **4–29** um instabile, zur Zersetzung neigende Öle [10]. Ausschlaggebend dafür, ob die untersuchte Reaktion von Amidoximen mit Aldehyden und Ketenen zu Oxadiazolen führt, dürfte die physikalisch-chemische Stabilität der Produkte sein. Nur mit stabilen Feststoffen, die durch Auskristallisieren dem Gleichgewicht mit den Edukten entzogen werden können, führt die Reaktion in präparativen Ausbeuten zu den Heterocyclen. Dies trifft vor allem auf N-unsubstituierte Amidoxime wie **1a–h** zu. Insbesondere an C-5 unsubstituierte Dihydrooxadiazole wie **4, 5** könnten auch aus pharmazeutischer Sicht von Interesse sein, da die Geometrie im Heteroclyclus von der entsprechender therapeutisch verwendetem Dihydroimidazole kaum abweicht [10].

3. Experimenteller Teil

Die Ergebnisse der Elementaranalysen (C, H, N) lagen in den üblichen Grenzen. Weitere experimentelle Angaben, insbesondere spektroskopische Daten, vgl. [10].

3.1. Amidoxime 1

Das in C₂H₅OH gelöste Nitril wird mit äquimolaren Mengen wässriger Lösungen von Hydroxylammoniumchlorid und Na₂CO₃ versetzt und einige Stunden erwärmt. Nach Abdestillieren des C₂H₅OH im Vakuum extrahiert man mit CH₂Cl₂ bzw. (C₂H₅)₂O, trocknet und engt ein.

3.1.1. (Z)-2-Furylcarboxamidoxim (1b)

Aus 5,30 g (56,9 mmol) 2-Cyanfuran. Ausb.: 5,0 g (70%); braunes Öl (vgl. [12]); ¹H-NMR ([D₆]DMSO): δ = 9,56 (s, 1 H, aust., OH), 7,62 („d“, „J“ ≈ 1,8 Hz, 1 H, 5-H), 6,70 („d“, „J“ = 3,3 Hz, 1 H, 3-H), 6,47 (dd, „J“ = 1,8, „J“ = 3,3 Hz, 1 H, 4-H), 5,66 (s, 2 H, aust., NH₂); MS: 127 (11, M⁺ + H), 126 (100), 109 (87), 94 (27), 67 (17), 55 (41). C₅H₆N₂O₂ (126,1)

3.1.2. (Z)-4-Methoxy-phenylacetamidoxim (1d)

Aus 22,5 g (0,15 mol) 4-Methoxyphenylacetonitril. Ausb.: 18,5 g (67%); weißes Pulver ($\text{CH}_2\text{Cl}_2/\text{Diisopropylether}$), Schmp. 102 °C; $^1\text{H-NMR}$ ([D₆]DMSO): $\delta = 8,85$ (s, 1 H, aust., OH), 7,01 (,,dt“, „J“ = 8,6, „J“ = 1,9 Hz, 4 aromat. H), 5,32 (s, br., 2 H, aust., NH₂), 3,71 (s, 3 H, OCH₃), 3,18 (s, 2 H, CH₂); MS: 181 (13, M⁺ + H), 180 (44), 163 (43), 147 (37), 132 (24), 121 (100), 91 (28), 77 (43), 51 (31).
C₉H₁₂N₂O₂ (180,2)

3.1.3. (Z)-1-Naphthylacetamidoxim (1e)

Aus 16,7 g (0,10 mol) 1-Naphthylacetonitril. Ausb.: 8,3 g (42%); braunweiße Festsubstanz [(C₂H₅)₂O], Schmp. 124 °C; $^1\text{H-NMR}$ ([D₆]DMSO): $\delta = 8,96$ (s, 1 H, aust., OH), 8,20 (,,t“, „J“ ≈ 4,8 Hz, 1 H, 8'-H), 7,94–7,40 (m, 6 H, 2'-H–7'-H), 5,41 (s, 2 H, aust., NH₂), 3,76 (s, 2 H, CH₂); MS: 201 (11, M⁺ + H), 200 (70), 199 (13), 183 (100), 182 (38), 166 (49), 156 (18), 141 (95), 115 (99).
C₁₂H₁₂N₂O (200,2)

3.1.4. (Z)-2-Thienylacetamidoxim (1f)

Aus 20,0 g (0,16 mol) 2-Thienylacetonitril. Ausb.: 10,2 g (40%); hellbraunes Pulver (C₂H₅OH/Diisopropylether), Schmp. 81 °C; $^1\text{H-NMR}$ ([D₆]DMSO): $\delta = 8,95$ (s, 1 H, aust., OH), 7,33 (dd, $^3\text{J} = 3,9$, $^4\text{J} = 2,4$ Hz, 1 H, 5'-H), 6,94–6,91 (m, 2 H, 3'-H, 4'-H), 5,43 (s, 2 H, aust., NH₂), 3,46 (s, 2 H, CH₂); MS: 156 (47; M⁺), 139 (12), 122 (20), 112 (28), 97 (100), 71 (6), 58 (11), 45 (59).
C₆H₈N₂OS (156,2)

3.1.5. (Z)-3-Pyridylacetamidoxim (1h)

Aus 10,0 g (86,2 mmol) 3-Pyridylacetonitril. Ausb. 5,4 g (41%); weiße Nadeln (CH₃OH/Diisopropylether), Schmp. 153 °C; $^1\text{H-NMR}$ ([D₆]DMSO): $\delta = 8,97$ (s, 1 H, aust., OH), 8,48 (d, $^4\text{J} = 1,9$ Hz, 1 H, 2'-H), 8,40 (dd, $^3\text{J} \approx 4,8$, $^4\text{J} \approx 1,9$ Hz, 1 H, 6'-H), 7,66 (,,dt“, „J“ ≈ 8,1, $^4\text{J} \approx 1,9$ Hz, 1 H, 4'-H), 7,31 (dd, $^3\text{J} \approx 4,8$, $^4\text{J} \approx 8,1$ Hz, 1 H, 5'-H), 5,51 (s, br., 2 H, aust., NH₂), 3,29 (s, 2 H, CH₂); MS: 152 (6, M⁺ + H), 151 (9), 150 (3), 134 (100), 107 (19), 93 (37), 92 (77), 65 (58).
C₇H₉N₃O (151,2)

3.2. Oxadiazaborole 3

Das Amidoxim **1** wird in 10 ml CH_2Cl_2 mit der äquimolaren Menge Phenylboronsäure (**2**) und einigen g Molekularsieb 4 Å erwärmt. Das Filtrat wird eingegengt.

3.2.1. 4-(2-Furyl)-2-phenyl-2,3-dihydro-1,3,5,2-oxadiazaborol (3b)

Aus 1,0 g (7,9 mmol) **1b**. Ausb.: 1,1 g (66%); gelbe Kristalle (Diisopropylether), Schmp. 153 °C; $^1\text{H-NMR}$ ([D₆]DMSO): $\delta = 10,49$ (s, 1 H, aust., NH), 7,96 (,,dt“, „J“ = 1,2 Hz, 1 H, 5-H [C₄H₃O]), 7,90 [dd, „J“ = 7,3, $^4\text{J} \approx 1,7$ Hz, 2 H, 2-H, 6-H (C₆H₅)], 7,58–7,45 [m, 3 H, 3-H–5-H (C₆H₅)], 7,21 (,,dt“, „J“ = 3,4 Hz, 1 H, 3-H [C₄H₃O]), 6,74 [dd, „J“ = 3,4, $^3\text{J} \approx 1,2$ Hz, 1 H, 4-H (C₄H₃O)]; MS: 213 (10, M⁺ + H), 212 (68), 211 (22), 108 (73), 77 (25), 53 (100).
C₁₁H₁₀BN₂O₂ (212,0)

3.2.2. 4-(1-Naphthylmethyl)-2-phenyl-2,3-dihydro-1,3,5,2-oxadiazaborol (3e)

Aus 0,50 g (2,5 mmol) **1e**. Ausb.: 0,45 g (63%); durchsichtige Kristalle (Aceton/ CH_2Cl_2), Schmp. 179 °C; $^1\text{H-NMR}$ ([D₆]DMSO): $\delta = 9,95$ (s, 1 H, aust., NH), 8,19 [dd, „J“ ≈ 6,7, $^4\text{J} \approx 2,1$ Hz, 1 H, 8-H (C₁₀H₇)], 7,98–7,32 (m, 11 aromat. H), 4,40 (s, 2 H, CH₂); MS: 287 (5, M⁺ + H), 286 (28), 285 (35), 209 (22), 182 (59), 141 (53), 115 (80), 104 (24), 77 (100), 51 (20).
C₁₈H₁₅BN₂O (286,1)

3.2.3. 2-Phenyl-4-(2-thienylmethyl)-2,3-dihydro-1,3,5,2-oxadiazaborol (3f)

Aus 1,50 g (9,6 mmol) **1f**. Ausb.: 1,2 g (50%); weiße Nadeln (Aceton/ CH_2Cl_2), Schmp. 115 °C; $^1\text{H-NMR}$ ([D₆]DMSO): $\delta = 10,04$ (s, br, 1 H, aust., NH), 7,81 (,,dt“, „J“ = 5,7, „J“ ≈ 1,8 Hz, 2 H, 2-H, 6-H (C₆H₅)), 7,55–7,40 [m, 4 H, 3-H–5-H (C₆H₅)], 5-H (C₄H₃S)], 7,05 [dd, „J“ ≈ 3,5, $^4\text{J} = 1,0$ Hz, 1 H, 3-H (C₄H₃S)], 7,00 [dd, „J“ = 3,5, $^3\text{J} = 5,0$ Hz, 1 H, 4-H (C₄H₃S)], 4,15 (s, 2 H, CH₂); MS: 243 (10, M⁺ + H), 242 (47), 241 (22), 165 (12), 138 (27), 104 (15), 97 (100), 77 (61), 51 (78), 45 (90).
C₁₂H₁₁BN₂OS (242,1)

3.3. Dihydrooxadiazole aus Amidoximen und aliphatischen Aldehyden

Das Amidoxim **1** wird mit dem Aldehyd in 50% C₂H₅OH erwärmt.

3.3.1. 3-Phenyl-4,5-dihydro-1,2,4-oxadiazol (4)

Aus 1,36 g (10,0 mmol) **1a** und 3,0 g (0,10 mol) Formalin, 1,5 h 70 °C; SC: Kieselgel, Länge 6 cm, \varnothing 2 cm, Ethylacetat/CHCl₃ (1 + 1), R_f = 0,88. Ausb.: 0,3 g (20%); weiße wachsartige Substanz, Schmp. 89 °C; $^1\text{H-NMR}$

([D₆]DMSO): $\delta = 7,72$ –7,66 (m, 2 H, 2'-H, 6'-H), 7,52–7,42 (m, 3 H, 3'-H–5'-H), 7,40 (,,s“, br, 1 H, aust., NH), 5,31 (d, $^3\text{J} = 3,1$ Hz, nach D₂O-Aust. s, 2 H, CH₂); MS: 149 (9, M⁺ + H), 148 (63), 147 (35), 119 (100), 103 (12), 91 (49), 77 (79), 64 (37), 51 (58).
C₈H₈N₂O (148,2)

3.3.2. 3-(4-Methoxybenzyl)-4,5-dihydro-1,2,4-oxadiazol (5)

Aus 0,90 g (5,0 mmol) **1d** und 0,40 g (5,0 mmol) Formalin, 12 h 60 °C; SC: Kieselgel, Länge 8 cm, \varnothing 1,5 cm, Ethylacetat/CH₂Cl₂ (1 + 1), R_f = 0,8. Ausb.: 0,2 g (21%); gelbweiße Plättchen, Schmp. 93 °C; $^1\text{H-NMR}$ (CDCl₃): $\delta = 7,04$ (,,dd“, „J“ = 8,7, „J“ = 2,1 Hz, 4 aromat. H), 5,23 (d, $^3\text{J} = 3,2$ Hz, nach D₂O-Aust. s, 2 H, 5-H₂), 4,10 (,,s“, br, 1 H, aust., NH), 3,80 (s, 3 H, OCH₃), 3,60 (s, 2 H, 3-CH₂); MS: 192 (28; M⁺), 147 (30), 121 (100), 91 (15), 77 (32), 63 (15), 51 (26), 39 (12).
C₁₀H₁₂N₂O (192,2)

3.3.3. 3-(2-Furyl)-5-methyl-4,5-dihydro-1,2,4-oxadiazol (6)

Aus 1,00 g (7,9 mmol) **1b** und 2,00 g (45,4 mmol) Acetaldehyd, 3 h 80 °C; SC: Kieselgel, Länge 10 cm, \varnothing 1,8 cm, Ethylacetat/CHCl₃ (1 + 1), R_f = 0,4. Ausb.: 0,2 g (17%); weiße wachsartige Substanz (Diisopropylether), Schmp. 24–25 °C; $^1\text{H-NMR}$ ([D₆]DMSO): $\delta = 7,85$ (,,d“, „J“ = 1,1 Hz, 1 H, 5'-H), 7,47 (,,s“, 1 H, aust., NH), 6,90 (,,d“, „J“ = 3,2 Hz, 1 H, 3'-H), 6,64 (dd, $^3\text{J} = 3,2$, $^3\text{J} = 1,1$ Hz, 1 H, 4'-H), 5,65 (dq, $^3\text{J} = 5,2$, $^3\text{J} = 2,4$ Hz, nach D₂O-Aust. q, 1 H, 5-H), 1,33 (d, $^3\text{J} = 5,2$ Hz, 3 H, CH₃); $^{13}\text{C-NMR}$ ([D₆]DMSO): $\delta = 148,70$ (C-3), 144,97 (C-5'), 140,66 (C-2'), 111,97, 111,63 (C-3', C-4'), 88,99 (C-5), 21,48 (CH₃); MS: 153 (19, M⁺ + H), 152 (44), 137 (45), 109 (100), 53 (33), 43 (96).
C₇H₈N₂O (152,2)

3.3.4. 3-Benzyl-5-methyl-4,5-dihydro-1,2,4-oxadiazol (7)

Aus 1,50 g (0,01 mol) **1c** und 8,81 g (0,20 mol) Acetaldehyd in 20 ml H₂O, 3 h 50 °C. Ausb.: 1,40 g (80%); weiße, feine Nadeln (C₂H₅OH/H₂O), Schmp. 79 °C; $^1\text{H-NMR}$ ([D₆]DMSO): $\delta = 7,37$ –7,20 (m, 5 H, C₆H₅), 6,91 (,,s“, 1 H, aust., NH), 5,47 (dq, $^3\text{J} = 5,0$, $^3\text{J} = 1,7$ Hz, nach D₂O-Aust. q, 1 H, 5-H), 3,49 (s, 2 H, CH₂), 1,20 (d, $^3\text{J} = 5,0$ Hz, 3 H, CH₃); MS: 176 (8; M⁺), 161 (24), 133 (11), 91 (100), 77 (9), 65 (17), 51 (11).
C₁₀H₁₂N₂O (176,2)

3.3.5. 3-(4-Methoxybenzyl)-5-methyl-4,5-dihydro-1,2,4-oxadiazol (8)

Aus 0,90 g (5,0 mmol) **1d** und 0,50 g (11,3 mmol) Acetaldehyd, 2 h 50 °C; SC: Kieselgel, Länge 9 cm, \varnothing 1,5 cm, Ethylacetat/CH₂Cl₂ (1 + 1), R_f = 0,74. Ausb.: 0,3 g (29%); weiße Kristalle (Diisopropylether), Schmp. 81 °C; $^1\text{H-NMR}$ (CDCl₃): $\delta = 7,04$ (,,dd“, „J“ = 8,6, „J“ = 1,9 Hz, 4 aromat. H), 4,04 (s, br, 1 H, aust., NH), 3,60 (dq, $^3\text{J} = 5,0$, $^3\text{J} = 2,6$ Hz, nach D₂O-Aust. q, 1 H, 5-H), 3,80 (s, 3 H, OCH₃), 3,56 (s, 2 H, CH₂), 1,36 (d, $^3\text{J} = 5,0$ Hz, 3 H, 5-CH₃); MS: 206 (9; M⁺), 191 (9), 163 (6), 121 (100), 77 (19), 51 (11).
C₁₁H₁₄N₂O (206,2)

3.3.6. 5-Methyl-3-(2-thienylmethyl)-4,5-dihydro-1,2,4-oxadiazol (9)

Aus 0,78 g (5,0 mmol) **1f** und 8,8 g (0,2 mol) Acetaldehyd, 2 h 70 °C. Ausb.: 0,21 g (23%); weißbraunes Pulver (Aceton/Diisopropylether), Schmp. 48 °C; $^1\text{H-NMR}$ ([D₆]DMSO): $\delta = 7,40$ (,,t“, „J“ ≈ 3,2 Hz, 1 H, 5-H), 6,97 (,,d“, „J“ = 3,5 Hz, 3 H, davon 1 H aust., 3'-H, 4'-H, NH), 5,51 (dq, $^3\text{J} = 5,0$, $^3\text{J} = 1,6$ Hz, nach D₂O-Aust. q, 1 H, 5-H), 3,73 (s, 2 H, CH₂), 1,22 (d, $^3\text{J} = 5$ Hz, 3 H, CH₃); MS: 183 (7; M⁺ + H), 182 (12), 167 (22), 139 (12), 99 (16), 97 (100), 45 (28).
C₈H₁₀N₂OS (182,2)

3.3.7. 5-Methyl-3-(1-naphthylmethyl)-4,5-dihydro-1,2,4-oxadiazol (10)

Aus 1,0 g (5,0 mmol) **1e** und 2,2 g (50 mmol) Acetaldehyd, 1 h 60 °C; SC: Kieselgel, Länge 10 cm, \varnothing 3 cm, Ethylacetat/CHCl₃ (1 + 1), R_f = 0,58. Ausb.: 0,2 g (18%); weiße Kristalle (Diisopropylether), Schmp. 106 °C; $^1\text{H-NMR}$ ([D₆]DMSO): $\delta = 8,12$ (ddd, $^3\text{J} \approx 7$, $^4\text{J} \approx 3$, $^5\text{J} \approx 1$ Hz, 1 H, 8'-H), 7,97–7,46 (m, 6 aromat. H), 6,98 (,,s“, 1 H, aust., NH), 5,47 (dq, $^3\text{J} = 5,0$, $^3\text{J} = 1,7$ Hz, nach D₂O-Aust. q, 1 H, 5-H), 3,97 (s, 2 H, CH₂), 1,19 (d, $^3\text{J} = 5,0$ Hz, 3 H, CH₃); $^{13}\text{C-NMR}$ ([D₆]DMSO): $\delta = 156,11$ (C-3), 133,28, 131,68, 131,53 (C-4'a, C-8'a, C-1'), 128,14 (C-4'), 127,48, 127,14 (C-5', C-2'), 126,13, 125,75, 125,48 (C-7', C-6', C-3'), 123,68 (C-8'), 88,44 (C-5), 27,67 (CH₂), 21,75 (CH₃); es wurde ein ¹H-¹³C-korriertes Spektrum aufgenommen; MS: 226 (15; M⁺), 211 (15), 183 (18), 166 (32), 141 (100), 115 (33).
C₁₄H₁₄N₂O (226,3)

3.3.8. 3-Benzyl-5-ethyl-4,5-dihydro-1,2,4-oxadiazol (11)

Aus 1,0 g (6,7 mmol) **1c** und 11,6 g (0,20 mol) Propionaldehyd, 3 h 70 °C. Ausb.: 1,3 g (68%); weißgelbe Kristalle (Aceton/Diisopropylether), Schmp. 60 °C; $^1\text{H-NMR}$ ([D₆]DMSO): $\delta = 7,36$ –7,15 (m, 5 H, C₆H₅), 6,96 (,,s“, 1 H, aust., NH), 5,31 (,,t“, „J“ = 4,0 Hz, nach D₂O-Aust. t, 1 H,

5-H), 3,50 (s, 2H, 3-CH₂), 1,53–1,43 (m, 2H, 5-CH₂), 0,81 (t, ³J = 7,4 Hz, 3 H, CH₃); MS: 190 (3; M⁺), 161 (24), 133 (13), 91 (100), 77 (7), 65 (16), 51 (8).
C₁₁H₁₄N₂O (190,2)

3.3.9. 5-Ethyl-3-(2-thienylmethyl)-4,5-dihydro-1,2,4-oxadiazol (12)

Aus 0,62 g (4,0 mmol) **1f** und 4,65 g (80,0 mmol) Propionaldehyd, 3 h 70 °C. Ausb.: 0,55 g (70%); braune Kristalle (Aceton/Diisopropylether), Schmp. 53 °C; ¹H-NMR ([D₆]DMSO): δ = 7,40 (dd, ³J = 3,7, ⁴J = 2,8 Hz, 1 H, 5-H), 7,03 (s, 1 H, aust., NH), 6,96 (m, 2H, 3'-H, 4'-H), 5,35 (dt, ³J = 4,7, ³J = 1,8 Hz, nach D₂O-Aust. t, ³J = 4,7 Hz, 1 H, 5-H), 3,73 (s, 2 H, 3-CH₂), 1,59–1,43 (m, 2H, 5-CH₂), 0,83 (t, ³J = 7,4 Hz, 3 H, CH₃); MS: 197 (2; M⁺ + H), 196 (4), 167 (25), 139 (13), 99 (18), 97 (100), 45 (22).
C₉H₁₂N₂OS (196,3)

3.3.10. 5-Ethyl-3-(1-naphthylmethyl)-4,5-dihydro-1,2,4-oxadiazol (13)

Aus 1,0 g (5,0 mmol) **1e** und 2,9 g (50,0 mmol) Propionaldehyd, 2 h 60 °C. Ausb.: 0,7 g (62%); weißes Pulver (Diisopropylether), Schmp. 104 °C; ¹H-NMR ([D₆]DMSO) δ = 8,14–7,43 (m, 7 aromat. H), 6,95 (s, 1 H, aust., NH), 5,31 (dt, ³J = 4,7, ³J = 2,0 Hz, nach D₂O-Aust. t, ³J = 4,8 Hz, 1 H, 5-H), 3,34 (s, 2 H, 3-CH₂), 1,56–1,45 (m, 2H, 5-CH₂), 0,80 (t, ³J = 7,4 Hz, 3 H, CH₃); MS: 240 (4; M⁺), 211 (18), 183 (18), 166 (23), 141 (100), 115 (33).
C₁₅H₁₆N₂O (240,3)

3.3.11. 5-Ethyl-3-(3-indolylmethyl)-4,5-dihydro-1,2,4-oxadiazol (14)

Aus 1,5 g (7,9 mmol) **1g** und 0,70 g (12,1 mmol) Propionaldehyd, 20 h bei Raumtemp. Ausb.: 0,52 g (29%); braunrotes Pulver (CH₃OH/Diisopropylether), Schmp. 111 °C; ¹H-NMR ([D₆]DMSO): δ = 10,93 (s, 1 H, aust., 1'-NH), 7,56 (,,d“, „J“ = 7,6 Hz, 1 H, 4'-H), 7,35 (,,d“, „J“ = 7,7 Hz, 1 H, 7'-H), 7,22 (,,d“, „J“ = 2,2 Hz, nach D₂O-Aust. s, 1 H, 2'-H), 7,08–6,98 (m, 2 H, 5'-H, 6'-H), 6,81 (s, 1 H, aust., 4-NH), 5,29 (dt, ³J = 4,7, ³J = 1,8 Hz, nach CF₃COOD-Aust. t, ³J = 4,8 Hz, 1 H, 5-H), 3,60 (s, 2 H, 3-CH₂), 1,56–1,42 (m, 2H, 5-CH₂), 0,81 (t, ³J = 7,4 Hz, 3 H, CH₃); MS: 229 (5; M⁺), 200 (10), 172 (7), 155 (9), 130 (100), 103 (9).
C₁₃H₁₅N₃O (229,3)

3.4. Dihydrooxadiazole aus Amidoximen und Ketonen bzw. aromatischen Aldehyden

Das Amidoxim **1** wird mit der Carbonylverbindung in Eisessig erwärmt.

3.4.1. 3-Benzyl-5-(4-methoxy-phenyl)-4,5-dihydro-1,2,4-oxadiazol (15)

Aus 4,00 g (26,6 mmol) **1c** und 7,24 g (52,2 mmol) 4-Methoxybenzaldehyd, 3 h 80 °C; SC: Kieselgel, Länge 25 cm, ⊖ 3 cm, Ethylacetat/CHCl₃ (1 + 1), R_f = 0,7. Ausb.: 0,2 g (3%); weiße Nadeln (Diisopropylether), Schmp. 120 °C; ¹H-NMR ([D₆]DMSO): δ = 7,44 (,,s“, 1 H, aust., NH), 7,35–7,23 [m, 7 H, 2-H–6-H (C₆H₅)], 2-H, 6-H (C₆H₄O), 6,92 [,,dt“, „J“ = 8,7, „J“ ≈ 2,4 Hz, 2 H, 3-H, 5-H (C₆H₄)], 6,25 (d, ³J = 1,6 Hz, nach D₂O-Aust. s, 1 H, 5-H), 3,75 (s, 3 H, OCH₃), 3,59 (s, 2 H, CH₂); MS: 269 (5, M⁺ + H), 268 (22), 267 (19), 151 (34), 135 (97), 117 (13), 108 (35), 91 (100), 77 (42), 65 (32), 51 (23).
C₁₆H₁₆N₂O₂ (268,3)

3.4.2. 3-Benzyl-5-(3,4-methylendioxyphenyl)-4,5-dihydro-1,2,4-oxadiazol (16)

Aus 1,5 g (10,0 mmol) **1c** und 1,5 g (10,0 mmol) Piperonal, 12 h 80 °C; SC: Kieselgel, Länge 8 cm, ⊖ 1,8 cm, Ethylacetat/CHCl₃ (1 + 1), R_f = 0,57. Ausb.: 0,15 g (5%); grünweiße Kristalle (Aceton/Diisopropylether), Schmp. 110 °C; ¹H-NMR ([D₆]DMSO): δ = 7,47 (,,s“, 1 H, aust., NH), 7,34–7,28 (m, 5 H, C₆H₅), 6,88–6,84 (m, 3 H, C₆H₃), 6,23 (d, ³J = 1,6 Hz, nach D₂O-Aust. s, 1 H, 5-H), 6,01 (s, 2 H, OCH₂O), 3,58 (s, 2 H, 3-CH₂); MS: 282 (11, M⁺), 165 (20), 149 (87), 148 (26), 122 (35), 91 (100), 77 (17), 65 (48).
C₁₆H₁₄N₂O₃ (282,3)

3.4.3. 5-(4-Hydroxy-3-methoxy-phenyl)-3-(1-naphthylmethyl)-4,5-dihydro-1,2,4-oxadiazol (17)

Aus 1,0 g (5,0 mmol) **1e** und 0,76 g (5,0 mmol) Vanillin, 3 h 80 °C; SC: Kieselgel, Länge 12 cm, ⊖ 2 cm, Ethylacetat/CHCl₃ (1 + 1), R_f = 0,45. Ausb.: 0,4 g (24%); weiße Kristalle [(C₂H₅)₂O/Diisopropylether], Schmp. 165 °C; ¹H-NMR [D₆]DMSO): δ = 9,11 (,,s“, br., 1 H, aust., OH), 8,21 [,,dd“, „J“ ≈ 6,3, „J“ ≈ 2,1 Hz, 1 H, 8-H (C₁₀H₇)], 7,98–7,91 [m, 1 H, 4-H (C₁₀H₇)], 7,87 [dd, ³J = 7,6, ⁴J = 1,1 Hz, 1 H, 5-H (C₁₀H₇)], 7,63–7,39 [m, 5 H, davon 1 H aust., 2-H, 3-H, 6-H, 7-H (C₁₀H₇), NH], 6,77–6,68 (m, 3 H, C₆H₃), 6,20 (d, ³J = 1,6 Hz, nach D₂O-Aust. s, 1 H, 5-H), 4,01/4,10 (dd, ²J = 15,6 Hz, 2 H, CH₂), 3,52 (s, 3 H, OCH₃); ¹³C-NMR ([D₆]DMSO): δ = 155,57, 147,41, 147,18 (C-3'', C-4'', C-3), 133,27 (C-8a'), 131,61, 131,50, 131,23 (C-4a', C-1', C-1''), 128,38 (C-5'), 127,47, 127,33 (C-4', C-2''), 126,09, 125,70, 125,44 (C-3', C-6', C-7''), 123,71 (C-8').

119,30 (C-2''), 114,78 (C-6''), 109,92 (C-5''), 92,13 (C-5), 55,09 (OCH₃), 27,62 (CH₂); es wurde ein ¹H-¹³C-korriertes Spektrum aufgenommen; MS: 335 (7, M⁺ + H), 334 (16), 333 (6), 183 (16), 167 (40), 166 (40), 151 (61), 141 (100), 115 (40).
C₂₀H₁₈N₂O₃ (334,4)

3.4.4. 3-Benzyl-5-(2,3-dimethoxyphenyl)-4,5-dihydro-1,2,4-oxadiazol (18)

Aus 1,5 g (10,0 mmol) **1c** und 1,1 g (6,6 mmol) 2,3-Dimethoxybenzaldehyd, 45 Min. 60 °C; SC: Kieselgel, Länge 10 cm, ⊖ 2,5 cm, Ethylacetat/CHCl₃ (1 + 1), R_f = 0,62. Ausb.: 0,6 g (20%); beige Festsubstanz (Diisopropylether), Schmp. 155 °C; ¹H-NMR ([D₆]DMSO): δ = 7,34–7,23 (m, 6 H, davon 1 H aust., C₆H₅, NH), 7,07–7,02 (m, 2 H) und 6,96–6,89 [m, 1 H, 4-H–6-H {C₆H₃(OCH₃)₂}], 6,53 (d, ³J = 1,9 Hz, nach D₂O-Aust. s, 1 H, 5-H), 3,80 (s, 3 H, OCH₃), 3,73 (s, 3 H, OCH₃), 3,58 (s, 2 H, CH₂); MS: 298 (9, M⁺), 297 (8), 267 (14), 165 (24), 138 (19), 91 (100), 77 (32), 65 (34), 51 (25).
C₁₇H₁₈N₂O₃ (298,3)

3.4.5. 5-(2,3-Dimethoxyphenyl)-3-(2-thienylmethyl)-4,5-dihydro-1,2,4-oxadiazol (19)

Aus 1,56 g (10,0 mmol) **1f** und 1,66 g (10,0 mmol) 2,3-Dimethoxybenzaldehyd, 2 h 80 °C. Ausb.: 0,5 g (16%); weißes Pulver (CH₃OH/Diisopropylether), Schmp. 139 °C; ¹H-NMR ([D₆]DMSO): δ = 7,40 [m, 2 H, davon 1 H aust.; nach CF₃COOD-Aust. dd, ³J = 4,8, ⁴J = 1,1 Hz, 5-H (C₄H₃S), NH], 7,13–6,94 [m, 5 H, 3-H, 4-H (C₄H₃S), 4-H–6-H {C₆H₃(OCH₃)₂}], 6,56 (d, ³J = 1,6 Hz, nach CF₃COOD-Aust. s, 1 H, 5-H), 3,81 (,,s“, 6 H, 2 × OCH₃), 3,74 (s, 2 H, CH₂); ¹³C-NMR ([D₆]DMSO): δ = 155,29 (C-3), 152,14, 146,43 (C-2'', C-3''), 137,44 (C-2'), 133,51 (C-1''), 126,78, 126,54, 125,04, 123,91, 118,16 (C-3'- C-5', C-5'', C-6''), 113,30 (C-4''), 87,09 (C-5), 60,69, 55,66 (2 × OCH₃), 24,30 (CH₂); MS: 304 (9, M⁺), 303 (4), 273 (7), 165 (24), 138 (15), 97 (100), 45 (26).
C₁₅H₁₆N₂O₃ (304,4)

3.4.6. 5-(2,4-Dimethoxyphenyl)-3-(1-naphthylmethyl)-4,5-dihydro-1,2,4-oxadiazol (20)

Aus 0,50 g (2,5 mmol) **1e** und 0,41 g (2,5 mmol) 2,4-Dimethoxybenzaldehyd, 1,5 h 60 °C; SC: Kieselgel, Länge 12 cm, ⊖ 2 cm, Ethylacetat/CHCl₃ (1 + 1), R_f = 0,59. Ausb.: 0,27 g (31%); weisses Pulver [(C₂H₅)₂O/Diisopropylether], Schmp. 122 °C; ¹H-NMR ([D₆]DMSO): δ = 8,17–8,11 [m, 1 H, 8-H (C₁₀H₇)], 7,97–7,93 [m, 1 H, 4-H (C₁₀H₇)], 7,86 [dd, ³J = 7,3, ⁴J = 2,1 Hz, 1 H, 5-H (C₁₀H₇)], 7,61–7,53 [m, 2 H, 6-H, 7-H (C₁₀H₇)], 7,50–7,43 [m, 2 H, 2-H, 3-H (C₁₀H₇)], 7,21–7,17 (m, 2 H, davon 1 H aust., nach D₂O-Aust. „d“, 3-H {C₆H₃(OCH₃)₂}, NH], 6,55 (,,d“, „J“ ≈ 2,3 Hz, nach D₂O-Aust. s, 1 H, 5-H), 6,47 (,,t“, „J“ ≈ 2,3 Hz, 1 H) und 6,44 (,,d“, „J“ ≈ 2,3 Hz, 1 H, 5-H, 6-H {C₆H₃(OCH₃)₂}], 4,03 (s, 2 H, CH₂), 3,75 (s, 3 H, OCH₃), 3,75 (s, 3 H, OCH₃); MS: 348 (20, M⁺), 347 (9), 182 (15), 181 (14), 167 (53), 166 (100), 165 (83), 141 (90), 115 (45).
C₂₁H₂₀N₂O₃ (348,4)

3.4.7. 3-Benzyl-5-(3,4,5-trimethoxy-phenyl)-4,5-dihydro-1,2,4-oxadiazol (21)

Aus 1,00 g (6,6 mmol) **1c** und 0,70 g (3,6 mmol) 3,4,5-Trimethoxybenzaldehyd, 3 h 70 °C. Ausb.: 0,52 g (44%); weiße, feine Nadeln (CH₃OH/Diisopropylether), Schmp. 151 °C; ¹H-NMR ([D₆]DMSO): δ = 7,55 (,,s“, 1 H, aust., NH), 7,36–7,24 (m, 5 H, C₆H₅), 6,63 [s, 2 H, 2-H, 6-H {C₆H₂(OCH₃)₃}], 6,27 (,,s“, 1 H, 5-H), 3,69 (s, 6 H, 2 × OCH₃), 3,63 (s, 3 H, OCH₃), 3,58 (,,s“, „J“ = 4,4 Hz, 2 H, CH₂); MS: 328 (18, M⁺), 327 (15), 326 (10), 211 (15), 195 (38), 168 (20), 117 (11), 91 (100), 77 (22), 65 (26), 51 (19).
C₁₈H₂₀N₂O₄ (328,4)

3.4.8. 5-(3,4,5-Trimethoxyphenyl)-3-(2-thienylmethyl)-4,5-dihydro-1,2,4-oxadiazol (22)

Aus 1,56 g (10,0 mmol) **1f** und 2,94 g (15,0 mmol) 3,4,5-Trimethoxybenzaldehyd, 3 h 70 °C. Ausb.: 0,25 g (8%); weißbraune Kristalle (CH₃OH/CHCl₃), Schmp. 159 °C; ¹H-NMR ([D₆]DMSO): δ = 7,59 (d, ³J = 1,5 Hz, 1 H, aust., NH), 7,43 [dd, ³J = 5,0, ⁴J = 1,4 Hz, 1 H, 5-H (C₄H₃S)], 7,05–6,96 [m, 2 H, 3-H, 4-H (C₄H₃S)], 6,68 [s, 2 H, 2-H, 6-H {C₆H₂(OCH₃)₃}], 6,29 (d, ³J = 1,5 Hz, nach D₂O-Aust. s, 1 H, 5-H), 3,83 (,,t“, ²J = 6,6 Hz, 2 H, CH₂), 3,72 (s, 6 H, 2 × OCH₃), 3,64 (s, 3 H, OCH₃); MS: 335 (4, M⁺ + H), 334 (20), 333 (7), 332 (7), 211 (8), 195 (31), 168 (12), 123 (8), 97 (100), 45 (21).
C₁₆H₁₈N₂O₄S (334,4)

3.4.9. 3-(1-Naphthylmethyl)-5-(2,3,4-trimethoxyphenyl)-4,5-dihydro-1,2,4-oxadiazol (23)

Aus 1,50 g (7,5 mmol) **1e** und 1,96 g (10,0 mmol) 2,3,4-Trimethoxybenzaldehyd, 12 h 70 °C; SC: Kieselgel, Länge 8 cm, ⊖ 2,5 cm, Ethylacetat/CHCl₃ (1 + 1), R_f = 0,55. Ausb.: 1,7 g (60%); weißes Pulver (CH₃OH/Diisopropylether), Schmp. 135 °C; ¹H-NMR ([D₆]DMSO): δ = 8,18–8,14 [m, 1 H, 8-H (C₁₀H₇)], 7,98–7,93 [m, 1 H, 4-H (C₁₀H₇)], 7,87 [dd,

$^3J = 7,4$, $^4J = 1,6$ Hz, 1 H, 5-H ($C_{10}H_7$)], 7,60–7,47 [m, 4 H, 2-H, 3-H, 6-H, 7-H ($C_{10}H_7$)], 7,27 (d, $^3J = 1,8$ Hz, 1 H, aust., NH), 7,00/6,75 [dd, $^3J = 8,7$ Hz, 2 H, 5-H, 6-H { $C_6H_2(OCH_3)_3$ }], 6,45 (d, $^3J = 1,8$ Hz, nach D₂O-Aust. s, 1 H, 5-H), 4,06 (s, 2 H, CH_2), 3,78 (s, 3 H, OCH_3), 3,76 (s, 3 H, OCH_3), 3,73 (s, 3 H, OCH_3); MS: 378 (14, M⁺), 377 (7), 195 (41), 179 (33), 167 (37), 166 (49), 141 (100), 115 (40).
 $C_{22}H_{22}N_2O_4$ (378,4)

3.4.10. 3-(1-Naphthylmethyl)-5-(3-nitrophenyl)-4,5-dihydro-1,2,4-oxadiazol (24)

Aus 1,0 g (5,0 mmol) **1e** und 1,0 g (6,6 mmol) 3-Nitrobenzaldehyd, 18 h 60 °C; SC: Kieselgel, Länge 8 cm, \varnothing 2 cm, Ethylacetat/CHCl₃ (1 + 1), R_f = 0,57. Ausb.: 0,1 g (6%); weiße, durchsichtige Nadeln (Aceton/Diisopropylether), Schmp. 126 °C; ¹H-NMR ([D₆]DMSO): $\delta = 8,25$ –8,12 [m, 3 H, 8-H ($C_{10}H_7$), 2-H, 4-H ($C_6H_4NO_2$)], 7,98–7,79 [m, 3 H, 5-H, 6-H ($C_6H_4NO_2$), 4-H ($C_{10}H_7$)], 7,75–7,66 (m, 2 H, davon 1 H aust., 5-H ($C_{10}H_7$), NH), 7,65–7,43 [m, 4 H, 2-H, 3-H, 6-H, 7-H ($C_{10}H_7$)], 6,50 (d, 1 H, $^3J = 1,9$ Hz, nach D₂O-Aust. s, 5-H), 4,11 (s, 2 H, CH_2); MS: 333 (9, M⁺), 183 (14), 167 (30), 166 (50), 150 (39), 141 (100), 115 (41).
 $C_{19}H_{15}N_3O_3$ (333,3)

3.4.11. 3-Benzyl-5,5-dimethyl-4,5-dihydro-1,2,4-oxadiazol (25)

Aus 6,00 g (0,040 mol) **1c** und 23,2 g (0,40 mol) Aceton, 12 h 70 °C. Ausb.: 2,2 g (29%); gelbe Kristalle (Aceton/Diisopropylether), Schmp. 127 °C; ¹H-NMR ([D₆]DMSO): $\delta = 7,37$ –7,21 (m, 5H, C_6H_5), 6,88 (s, 1 H, aust., NH), 3,46 (s, 2 H, CH_2), 1,29 (s, 6 H, 2 \times CH₃); MS: 190 (4, M⁺), 175 (22), 91 (100), 77 (6), 65 (12), 51 (7).
 $C_{11}H_{14}N_2O$ (190,2)

3.4.12. 5,5-Dimethyl-3-(2-thienylmethyl)-4,5-dihydro-1,2,4-oxadiazol (26)

Aus 3,10 g (19,8 mmol) **1f** und 17,3 g (0,30 mol) Aceton, 12 h 70 °C. Ausb.: 0,4 g (10%); braune Nadeln (CH_3OH /Diisopropylether), Schmp. 109 °C; ¹H-NMR ([D₆]DMSO): $\delta = 7,40$ (,,t“, „J“ ≈ 3,3 Hz, 1 H, 5'-H), 6,96 (,,d“, „J“ ≈ 3,3 Hz, 3 H, davon 1 H aust., 3'-H, 4'-H, NH), 3,70 (s, 2 H, CH_2), 1,31 (s, 6 H, 2 \times CH₃); MS: 196 (6, M⁺), 181 (23), 139 (26), 97 (100), 58 (11), 45 (17).
 $C_9H_{12}N_2OS$ (196,3)

3.4.13. 3-Benzyl-1-oxa-2,4-diaza-spiro[4,5]dec-2-en (27)

Aus 2,03 g (13,5 mmol) **1c** und 3,98 g (40,5 mmol) Cyclohexanon, 3 h 70 °C. Ausb.: 1,9 g (61%); weiße Nadeln (Aceton/Diisopropylether), Schmp. 154 °C; ¹H-NMR ([D₆]DMSO): $\delta = 7,36$ –7,21 (m, 5H, C_6H_5), 6,99 (s, 1 H, aust., NH), 3,47 (s, 2 H, 3-CH₂), 1,61–1,29 (m, 10 H, 6-H₂–10-H₂); MS: 231 (2, M⁺ + H), 230 (11), 187 (40), 133 (21), 91 (100), 77 (6), 65 (14), 55 (25).
 $C_{14}H_{18}N_2O$ (230,3)

3.4.14. 3-(2-Thienylmethyl)-1-oxa-2,4-diaza-spiro[4,5]dec-2-en (28)

Aus 0,40 g (2,6 mmol) **1f** und 2,60 g (26,5 mmol) Cyclohexanon, 3 h 70 °C; SC: Kieselgel, Länge 10 cm, \varnothing 2,5 cm, Ethylacetat/CHCl₃ (1 + 1), R_f = 0,64. Ausb.: 2,1 g (34%); weiße Festsubstanz (Aceton/Diisopropylether), Schmp. 101 °C; ¹H-NMR ([D₆]DMSO): $\delta = 7,39$ (,,t“, „J“ = 3,2 Hz, 1 H, 5-H (C_4H_3S)), 7,07 (s, 1 H, aust., NH), 6,96 (,,d“, „J“ ≈ 3,2 Hz, 2 H, 3-H, 4-H (C_4H_3S)), 3,70 (s, 2 H, 3-CH₂), 1,7–1,2 (m, br, 10 H, 6-H₂–10-H₂); MS: 236 (13, M⁺), 193 (23), 139 (38), 97 (100), 55 (28).
 $C_{12}H_{16}N_2OS$ (236,3)

3.4.15. 3-Benzyl-1-oxa-2,4-diaza-spiro[4,6]undec-2-en (29)

Aus 0,47 g (3,1 mmol) **1c** und 3,47 g (31,0 mmol) Cycloheptanon, 3 h 70 °C; SC: Kieselgel, Länge 10 cm, \varnothing 3 cm, Ethylacetat/CHCl₃ (1 + 1), R_f = 0,63. Ausb.: 0,10 g (13%); weiße, feine Nadeln (C_2H_5OH /Diisopropylether), Schmp. 101 °C; ¹H-NMR ([D₆]DMSO): $\delta = 7,37$ –7,23 (m, 5 H, C_6H_5), 7,04 (s, 1 H, aust., NH), 3,46 (s, 2 H, 3-CH₂), 1,89–1,61 (m, 4 H, 6-H₂, 11-H₂), 1,48 (,,s“, br, 8 H, 7-H₂–10-H₂); MS: 244 (7, M⁺), 201 (15), 187 (28), 133 (19), 91 (100), 77 (7), 65 (13), 55 (31).
 $C_{15}H_{20}N_2O$ (244,3)

3.4.16. 3-Benzyl-5-(4-nitrophenyl)-1,2,4-oxadiazol (30)

Aus 1,5 g (10 mmol) **1c** und 1,5 g (10 mmol) 4-Nitrobenzaldehyd, 7 h 70 °C. Ausb.: 0,8 g (28%); orangenes Pulver (CH_3OH), Schmp. 119 °C; ¹H-NMR ([D₆]DMSO): $\delta = 8,42$ –8,33 [,,dt“, „J“ = 9,0, „J“ = 2,0 Hz, 4 H, 2-H, 3-H, 5-H, 6-H ($C_6H_4NO_2$)], 7,40–7,24 (m, 5 H, C_6H_5), 4,23 (s, 2 H, CH_2); MS: 281 (31, M⁺), 150 (86), 131 (80), 103 (67), 91 (100), 77 (55), 76 (61), 65 (45).
 $C_{15}H_{11}N_3O_3$ (281,3)

3.4.17. 5-(4-Nitrophenyl)-3-(2-thienylmethyl)-1,2,4-oxadiazol (31)

Aus 1,56 g (10 mmol) **1f** und 1,51 g (10 mmol) 4-Nitrobenzaldehyd, 10 h 60 °C. Ausb.: 0,75 g (26%); orangene, fein glänzende Kristalle (CH_3OH /Diisopropylether), Schmp. 126 °C; ¹H-NMR ([D₆]DMSO): $\delta = 8,25$ –8,12 [m, 3 H, 8-H ($C_{10}H_7$), 2-H, 4-H ($C_6H_4NO_2$)], 7,98–7,79 [m, 3 H, 5-H, 6-H ($C_6H_4NO_2$)], 7,75–7,66 (m, 2 H, davon 1 H aust., 5-H ($C_{10}H_7$), NH), 7,65–7,43 [m, 4 H, 2-H, 3-H, 6-H, 7-H ($C_{10}H_7$)], 6,50 (d, 1 H, $^3J = 1,9$ Hz, nach D₂O-Aust. s, 5-H), 4,11 (s, 2 H, CH_2); MS: 333 (9, M⁺), 183 (14), 167 (30), 166 (50), 150 (39), 141 (100), 115 (41).
 $C_{13}H_9N_3O_3S$ (287,3)

3.4.18. 5-(4-Nitrophenyl)-3-(3-pyridylmethyl)-1,2,4-oxadiazol (32)

Aus 1,20 g (7,9 mmol) **1h** und 1,50 g (9,9 mmol) 4-Nitrobenzaldehyd, 24 h 45 °C; SC: Kieselgel, Länge 10 cm, \varnothing 2 cm, CH_2Cl_2 /Ethylacetat (1 + 1), R_f = 0,33. Ausb.: 0,4 g (18%); orangene Kristalle (Petroläther 60/80/ CH_3OH), Schmp. 129 °C; ¹H-NMR ([D₆]DMSO): $\delta = 8,63$ [,,s“, 1 H, 2-H (C_5H_4N)], 8,50 [,,d“, „J“ ≈ 4,8 Hz, 1 H, 6-H (C_5H_4N)], 8,43/8,34 [ddd , „J“ ≈ 8,9, „J“ ≈ 2,1 Hz, 4 H, 2-H, 3-H, 5-H, 6-H (C_6H_5)], 7,80 [,,dt“, „J“ ≈ 7,5, „J“ ≈ 2,0 Hz, 1 H, 4-H (C_5H_4N)], 7,39 [dd, „J“ = 7,5, „J“ = 4,8 Hz, 1 H, 5-H (C_5H_4N)], 4,30 (s, 2 H, CH_2); MS: 282 (2, M⁺), 281 (6), 253 (22), 150 (100), 104 (84), 92 (68), 77 (25), 65 (52), 51 (44), 39 (42).
 $C_{14}H_{10}N_4O_3$ (282,3)

Wir danken dem Fonds der Chemischen Industrie für die Unterstützung der Arbeit.

Literatur

- Mansuy, D.; Boucher, J. L.; Clement, B.: Biochimie **77**, 661 (1995)
- Rehse, K.; Brehme, F.: Arch. Pharm. Med. Chem. **331**, 375 (1998)
- Chimirri, A.; Grasso, S.; Montforte, A.-M.; Rao, A.; Zappala, M.: Farmaco **51**, 125 (1996)
- Chimirri, A.; Grasso, S.; Montforte, A.-M.; Montforte, P.; Zappala, M.; Carotti, A.: Farmaco **49**, 509 (1994)
- Tiemann, F.: Ber. Dtsch. Chem. Ges. **17**, 126 (1884)
- Exner, O.; Jehlicka, V.; Dondoni, A.; Boicelli, A. C.: J. Chem. Soc., Perkin Trans. 2, 567 (1974)
- Gozlan, H.; Michelot, R.; Riche, C.; Rips, R.: Tetrahedron **33**, 2535 (1977)
- Möhrlé, H.; Lessel, J.: Z. Naturforsch. **47b**, 1333 (1992)
- Bushey, D. F.; Hoover, F. C.: J. Org. Chem. **45**, 4198 (1980)
- Herfs, G.: Diss. Univ. Düsseldorf (1998)
- Tikhonow, Y.; Belova, N. V.; Volodarskii, L. B.; Gatilov, Y. V.: J. Org. Chem. USSR **21**, 177 (1985)
- Eloy, F.; Lenaers, R.: Chem. Rev. **62**, 155 (1962)
- Dewar, M. J. S.; Thiel, W.: J. Am. Chem. Soc. **99**, 4899 (1977)

Eingegangen am 4. Mai 1999
Angenommen am 6. Juli 1999

Priv.-Doz. Dr. J. Lessel
Institut für Pharmazeutische Chemie
Heinrich-Heine-Universität Düsseldorf
Universitätsstr. 1
D-40225 Düsseldorf